

کانی‌شناسی و ژئوشیمی اورانیوم، توریم و عناصر نادر خاکی در کانسنگ درونزاد مس- مولیبدن کانسار کال کافی، منطقه انارک

خالق خشنودی^۱ و سمانه ضیاپور^۲

۱- استادیار پژوهشکده چرخه سوخت هسته‌ای، پژوهشگاه علوم و فنون هسته‌ای، سازمان انرژی اتمی، تهران، ایران

۲- پژوهشگر پژوهشکده چرخه سوخت هسته‌ای، پژوهشگاه علوم و فنون هسته‌ای، سازمان انرژی اتمی، تهران، ایران

* khoshnoodi78@gmail.com نویسنده مسئول:

نوع مقاله: پژوهشی

دریافت: ۱۴۰۲/۱۲/۲۰ پذیرش: ۱۴۰۳/۳/۱

چکیده

کانسار مس- مولیبدن کال کافی از نظر تقسیمات ساختاری یکی از ذخایر منطقه معدنی انارک در ۷۶ کیلومتری شمال شرق شهر انارک، در بخش میانی ایران مرکزی است. توده گرانیتیوئیدی کال کافی توده‌ای بیضی شکل با ابعاد $8 \times 5/5$ کیلومتر و سن ائوسن فوکانی است که درون سنگ‌های دگرگونی پرکامبرین، آهک کرتاسه و سنگ‌های آتشفسانی ائوسن زیرین- میانی نفوذ کرده است. گرانیت کال کافی دارای ماهیت کالک‌آلکان پتاسیم بالا و موقعیت تکتونیکی کمان آتشفسانی است. کانی اصلی میزبان اورانیوم و توریم شامل اورانیت توریم‌دار، اورانوتوریت و توریت اورانیوم‌دار است. بلورهای اورانیت و اورانوتوریت به ترتیب حاوی حداقل ۱۰ درصد توریم و ۳۰ درصد اورانیوم هستند. کانی‌های اصلی میزبان عناصر نادر خاکی موناتزیت، باستنایت و پاریسیت است که محتوای سریم، لانتانیم و نیودیمیم در آن‌ها به ترتیب از حدود ۱۸ تا ۳۴٪، ۹ تا ۲۰٪ و ۹ تا ۱۳٪ درصد تغییر می‌کند. میانگین مقدار عناصر اورانیوم، توریم و مجموع نادر خاکی در منطقه کانی‌سازی درونزاد کانسار کال کافی به ترتیب ۱۸٪، ۷٪ و ۸۹٪ پی‌بی ام است. براساس نتایج به دست آمده از این تحقیق، کانی‌سازی مس، مولیبدن و اورانیوم درونزاد در کانسار کال کافی از نوع ذخایر اورانیوم نوع نفوذی (زیرده گرانیت- موتوزنیت) است.

واژه‌های کلیدی: اورانیوم، کالک‌آلکان پتاسیم بالا، کانسار مس- مولیبدن کال کافی

۱- پیشگفتار

همکاران (۱۹۸۱)، خوئی (۱۹۸۳)، باباخانی و همکاران (۱۹۹۹)، امینی و سهیلی (۲۰۰۰) و نظامپور (۲۰۰۵) مطالعه شده است. منطقه کال کافی به دلیل وجود کانی‌سازی انواع فلزات از جمله مس، مولیبدن، سرب، روی و طلا از گذشته مورد توجه بوده است. آثار متعددی به صورت حفريات فراوان در امتداد گسل‌ها و همچنین وجود سرباره کوره‌های ذوب حاکی از قدمت معدنکاری در منطقه است. توده نفوذی کالکافی در بخش غربی خود میزبان یکی از بزرگترین معادن مس- مولیبدن- طلای ایران است. در منطقه کال کافی سه سیستم گسل با راستای شمالی- جنوبی، شرقی- غربی و شمال‌شرق- جنوب‌غربی وجود دارد. سیستم شکستگی‌های شرقی- غربی کانی‌سازی مس- مولیبدن پورفیری و سیستم شکستگی‌های شمالی- جنوبی کانی‌سازی رگه‌ای چندفلزی (سرپ، روی، تنگستن، مولیبدن و طلا) را کنترل کرده‌اند. کانی‌سازی مس- مولیبدن پورفیری در حاشیه غربی توده نفوذی کال کافی منطبق بر گرانیت و موتوزنوگرانیت در مجاورت با دشت

بیش از ۱۵۰ کانسار و اندیس در ناحیه انارک شناسایی شده است که عمدتاً از لحاظ ترکیب کانی‌ای با یکدیگر متفاوت هستند. محدوده کال کافی از نظر تقسیمات ساختاری در منطقه معدنی انارک در ۷۶ کیلومتری شمال شرق انارک، در حاشیه جنوبی کویر مرکزی در استان اصفهان واقع شده است (اشتوکلین، ۱۹۶۸). منطقه معدنی انارک در بخش میانی ایران مرکزی و در زیرپهنه دگرگونی انارک- خور واقع شده است و از شمال به گسل درونه، از جنوب غرب به زون افیولیتی نایین- زوار و از جنوب به فروافتادگی نایین- انارک محدوده می‌گردد. منطقه کال کافی تاریخچه بسیار پیچیده‌ای دارد و فرآیندهای زمین‌ساختی و چرخه‌های ماگماتیسم، دگرگونی، رسوب‌گذاری و فرسایش سبب تنوع چشم‌اندازها و پدیده‌های زمین‌شناسی شده است (حیدریان و رسائی، ۲۰۱۲؛ مقدسی و همکاران، ۲۰۱۲). توان معدنی این منطقه پیش از این توسط ادیب (۱۹۷۲)، یاکوونکو و

که قدیمی‌ترین واحد، بخش گابرو-مونزوگابرو و جوان‌ترین واحد بخش گرانیتی است (یاکونونکو و همکاران، ۱۹۸۱؛ باباخانی و همکاران، ۱۹۹۹؛ احمدیان و همکاران، ۲۰۰۹؛ احمدیان، ۲۰۱۲؛ حیدریان و رسا، ۲۰۱۱). سن این توده با روش سن‌سنگی پتاسیم-آرگون در محدوده ۴۷-۵۶ میلیون سال معادل ائوسن فوکانی محاسبه شده است (یوشین و رومانکو، ۱۹۸۱). تزریق توده گرانیتوئیدی مذکور در سنگ‌های آتشفشاری با سن ائوسن زیرین-میانی سبب دگرگونی مجاورتی ضعیف این سنگ‌ها شده است. سنگ‌های آتشفشاری و آذرآواری مذکور با ترکیب غالب آندزیت-ترکی آندزیت در حاشیه بخش‌های شرقی و شمال شرقی منطقه رخمنون داشته و توسط دایک‌های متعددی با ترکیب مونزوونیتی قطع شده‌اند. روند عمومی لایه‌های سنگی به پیروی از نفوذ این توده دارای امتداد شمال شرقی-جنوب‌غربی و شیبی به سمت جنوب‌شرق است. واحدهای آهکی با سن کرتاسه به صورت دگرشیب بر روی واحدهای قدیمی‌تر قرار گرفته‌اند (باباخانی و همکاران، ۱۹۹۹؛ احمدیان و همکاران، ۲۰۰۹؛ احمدیان، ۲۰۱۲؛ حیدریان و رسا، ۲۰۱۱). چهار فاز ماقمایی در مجموعه پلوتونیکی کال‌کافی متشکل از گابرو-دیوریت-مونزو‌دیوریت، مونزوونیت-سینیت، کوارتز‌مونزوونیت-کوارتز‌سینیت و گرانیت آکلان-مونزوگرانیت شناسایی شده است. گرانیت‌ها رخساره‌ای ریزبلور با رنگ روشن دارند که جایگاه زون کانی‌سازی مس-مولیبدن می‌باشد. رسوبات پهنه دشت‌ها و آبرفت‌های رودخانه‌ای کواترنر نیز سطح منطقه را پوشانیده‌اند (احمدیان و همکاران، ۲۰۰۹؛ احمدیان، ۲۰۱۲).

۳- روش تحقیق

پس از بررسی صحراهای نمونه‌برداری از مغزه‌های حفاری در عمق بیش از ۱۰۰ متر در منطقه درونزد کانسار انجام شد. پس از بررسی ماکروسکوپی نمونه‌ها، بیش از ۴۰ مقطع نازک و نازک-صیقلی از گرانیت کال‌کافی و کانسنگ درونزد مس-مولیبدن پورفیری برای مطالعات سنگ‌شناسی و مینرالوگرافی توسط میکروسکوپ نور عبوری-انعکاسی مدل CX21 Olympus تهیه گردید.

در مرحله بعد، مطالعات دقیق‌تر کانی‌شناسی بر روی ۸ مقطع نازک-صیقلی توسط میکروسکوپ الکترونی مدل FESEM SIGMA/VP-ZEISS در مرکز پژوهش‌های

آبرفتی است و زون‌های دگرسانی منطقه شامل پتاسیک، فیلیک، آرژیلیک و سیلیسی می‌باشد (یاکونونکو و همکاران، ۱۹۸۱؛ احمدیان و همکاران، ۲۰۰۹؛ حیدریان و رسا، ۲۰۱۱). این معدن حاوی ۲۴۵ میلیون تن کانسنگ با عیار ۴٪ مس و ۰.۰۲۶٪ مولیبدن می‌باشد. همچنین میزان طلای گزارش شده از این بخش ۲۴۹ تن طلای با عیار ۴ پی‌پی ام می‌باشد (یاکونونکو و همکاران، ۱۹۸۱). تاکنون در این کانسار، مطالعات دقیق کانی‌شناسی با استفاده از میکروسکوپ الکترونی با رویکرد شناسایی کانی‌های اورانیوم، توریم و عنصر نادر خاکی انجام نشده است و هدف این مقاله این است که با استفاده از مطالعات پتروگرافی، مینرالوگرافی، میکروسکوپ الکترونی و نتایج آنالیز شیمیایی، کانی‌شناسی و ژئوشیمی اورانیوم، توریم و عنصر نادر خاکی در منطقه کانی‌سازی درونزد کانسار کال‌کافی مورد بررسی قرار گیرد.

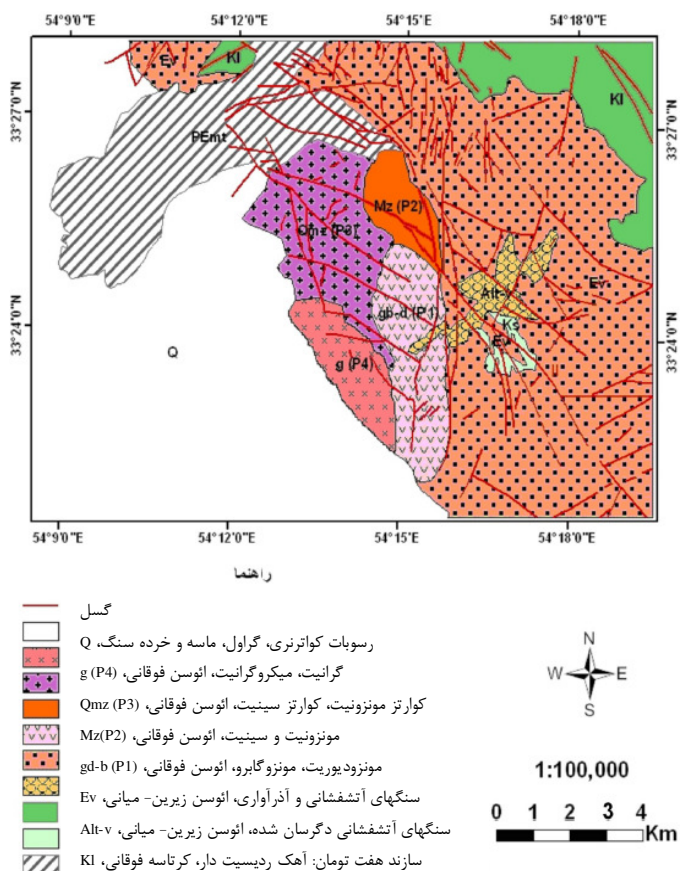
۲- زمین‌شناسی منطقه

محدوده کال‌کافی در محدوده طول‌های جغرافیایی $۱۰^{\circ} ۵۴^{\prime}$ تا $۲۰^{\circ} ۵۴^{\prime}$ شرقی و عرض‌های جغرافیایی $۲۰^{\circ} ۳۳^{\prime}$ تا $۳۰^{\circ} ۳۳^{\prime}$ شمالی و بخشی از ورقه ۱:۱۰۰۰۰۰ کبودان قرار گرفته است (اشتوکلین، ۱۹۶۸). دسترسی به منطقه کال‌کافی از طریق محور اصفهان-نانین-انارک-چوبانان و در کیلومتر ۴۵ جاده آسفالتی انارک به چوبانان، جاده خاکی معدن متروکه طلای خونی و پس از عبور از مزرعه مشجری و معدن متروک طلای خونی به طول ۲۵ کیلومتر امکان‌پذیر می‌باشد. ساختمان منطقه کال‌کافی به شکل گنبدی بزرگ است که فعالیت‌های تکتونوماگمایی آلپین بر روی پی‌سنگ چین‌خورد بایکالین (کمپلکس دگرگونی چاه گربه) رخ داده است. گرانیتوئید کال‌کافی در مرکز آن واقع شده است. توده گرانیتوئیدی کال‌کافی توده‌ای بیضی شکل با ابعاد $8 \times 5 / 5$ کیلومتر است که در درون سنگ‌های دگرگونی پرکامبرین فوکانی تا پالئوزوئیک زیرین و واحدهای آهکی کرتاسه و آتشفشاری ائوسن زیرین-میانی منطقه تزریق شده است و در حاشیه شمالی و جنوبی منطقه رخمنون دارد (شکل ۱). کمپلکس پلوتونیک کال‌کافی شامل طیفی از سنگ‌های گرانیت، گرانو‌دیوریت، کوارتز‌مونزوونیت، دیوریت و گابرو-مونزوگابرو به همراه سنگ‌های نیمه‌عمیق (دایک‌های مونزو‌دیوریت و لامپروفیر) می‌باشد که شواهد صحراهای حاکی از آن است

۷۵ میکرون نرمایش شدند به طوری که ۸۵٪ حجم نمونه از الک ۲۰۰ مش (۷۵ میکرون) عبور کند. در روش ذوب قلیایی نمونه‌ها با استفاده از لیتیوم متاپورات ذوب شدند و محصول ذوب شده با استفاده از اسید نیتریک رقیق حل شده و سپس محلول نهایی با استفاده از دستگاه ICP-OES آزمایشگاه زرآزمایی در تهران انجام گرفت (جدول ۱). عناصر اصلی به روش ذوب قلیایی با دستگاه اسپکترومتری نشري پلاسمای جفت شده القابی (ICP-OES)، همچنین عناصر فرعی و کمیاب به کمک طیفسنج جرمی پلاسمای جفت شده القابی (ICP-MS) تجزیه و اندازه‌گیری شدند. فرایند آماده‌سازی جهت به حدائق رساندن سایز و همگنسازی نمونه با تبعیت از پروتکل‌های استاندارد نمونه‌برداری و رعایت اصل پرهیز از آلودگی انجام شد. در مرحله اول، نمونه‌ها با استفاده از آون آزمایشگاهی و تا حرارت ماکزیمم ۱۲۰ درجه سانتی‌گراد خشک شدند و سپس با استفاده از سنگ‌شکن‌های فکی تا ابعاد کمتر از ۴ میلی‌متر خردایش شده و در آسیاب دیسکی استیل با عیار کروم پایین تا سایز کال کافی از احمدیان (۲۰۱۲) نیز به منظور مطالعات

ژئوشیمیایی گرانیت استفاده شد (جدول ۲).

کاربردی سازمان زمین‌شناسی و اکتشافات معدنی کشور انجام شد. به منظور مطالعات ژئوشیمیایی و اندازه‌گیری عناصر اصلی، عناصر فرعی و عناصر نادر خاکی، تجزیه کلی تعداد ۵ نمونه کانسینگ به روش ICP-MS و ICP-OES آزمایشگاه زرآزمایی در تهران انجام گرفت (جدول ۱). عناصر اصلی به روش ذوب قلیایی با دستگاه اسپکترومتری نشري پلاسمای جفت شده القابی (ICP-OES)، همچنین عناصر فرعی و کمیاب به کمک طیفسنج جرمی پلاسمای جفت شده القابی (ICP-MS) تجزیه و اندازه‌گیری شدند. فرایند آماده‌سازی جهت به حدائق رساندن سایز و همگنسازی نمونه با تبعیت از پروتکل‌های استاندارد نمونه‌برداری و رعایت اصل پرهیز از آلودگی انجام شد. در مرحله اول، نمونه‌ها با استفاده از آون آزمایشگاهی و تا حرارت ماکزیمم ۱۲۰ درجه سانتی‌گراد خشک شدند و سپس با استفاده از سنگ‌شکن‌های فکی تا ابعاد کمتر از ۴ میلی‌متر خردایش شده و در آسیاب دیسکی استیل با عیار کروم پایین تا سایز



شکل ۱. نقشه زمین‌شناسی ساده منطقه کال کافی (احمدیان و همکاران، ۲۰۰۷)
Fig. 1. Simplified geological map of Kal-e Kafi area (Ahmadian et al., 2007)

جدول ۱. نتایج آنالیز عناصر اصلی (wt%) و فرعی (ppm) نمونه‌های کانسنگ به روش ICP-OES&MS

Table 1. Major and minor element analyses of ore samples by ICP-OES &MS

Sample No.		KK-07	KK11	KK13	KK16	KK19
SiO ₂	%	69.08	70.78	69.81	68.3	70.31
Al ₂ O ₃	%	14.51	14.65	14.33	15.77	14.3
CaO	%	1.17	1.51	1.25	1.84	0.77
Fe ₂ O ₃	%	1.4	1.74	1.57	2.09	1.58
K ₂ O	%	6.47	5.46	5.82	4.61	5.92
MgO	%	0.63	0.78	0.92	0.89	1.15
Na ₂ O	%	2.62	3.83	3.66	4.39	3.48
P ₂ O ₅	%	0.07	0.06	0.06	0.07	0.05
SO ₃	%	1.13	0.04	0.73	0.41	0.71
TiO ₂	%	0.24	0.23	0.23	0.23	0.22
LOI	%	2.05	0.76	1.1	1.03	0.75
Ba	ppm	610	677	537	700	603
Cu	ppm	4264	370	2030	1467	5578
Nb	ppm	9.2	9.8	9.1	9.7	10.6
Pb	ppm	161	78	93	58	110
Rb	ppm	187	145	165	156	201
Sr	ppm	594.2	768.6	742.1	956.9	693.3
Ta	ppm	1	0.8	0.8	0.7	1
Th	ppm	19.9	14.8	18.6	13.1	23.2
U	ppm	7.4	5.4	7.8	5.5	7.7
Y	ppm	9.2	8.9	8.3	10.6	7.4
Zr	ppm	29	24	24	22	23
La	ppm	19	19	20	25	15
Ce	ppm	37	38	41	49	33
Pr	ppm	4.4	4.71	4.57	5.8	3.58
Nd	ppm	14.9	16	14.3	19.4	12.1
Sm	ppm	2.8	2.9	2.7	3.4	2.2
Eu	ppm	0.58	0.67	0.55	0.8	0.48
Gd	ppm	2.47	2.57	2.37	2.92	2.03
Tb	ppm	0.1	0.2	0.1	0.3	0.1
Dy	ppm	2.1	2	2	2.3	1.7
Er	ppm	1.1	1	0.9	1.1	0.8
Tm	ppm	0.2	0.2	0.2	0.2	0.2
Yb	ppm	0.94	0.81	0.87	0.93	0.78
Lu	ppm	0.2	0.2	0.2	0.2	0.1

جدول ۲. نتایج آنالیز عناصر اصلی (wt%) و فرعی (ppm) نمونه‌های گرانیت کال کافی (احمدیان، ۲۰۱۲)

Table 2. Major (%) and minor (ppm) element analyses of the Kal-e Kafi granite (Ahmadian, 2012)

Sample No.		50	162	152	39
SiO ₂	%	67.26	66.98	66.26	66.63
Al ₂ O ₃	%	16	15.9	16.35	16.31
CaO	%	2.61	2.42	3.29	2.2
FeO	%	1.35	1.38	0.72	1.38
Fe ₂ O ₃	%	1.92	1.88	1.48	1.95
K ₂ O	%	4.58	4.87	4.31	4.96
MgO	%	1.02	0.86	1.37	0.89
Na ₂ O	%	5.31	5.21	5.59	5.44
P ₂ O ₅	%	0.13	0.13	0.17	0.13
TiO ₂	%	0.33	0.3	0.36	0.32
Co	ppm	5	5	4	5
Nb	ppm	12.5	12.1	12.8	12.5
Ta	ppm	0.82	0.86	0.87	0.88
Th	ppm	20	10.3	13.3	16.2
Yb	ppm	1.36	1.34	1.41	1.48

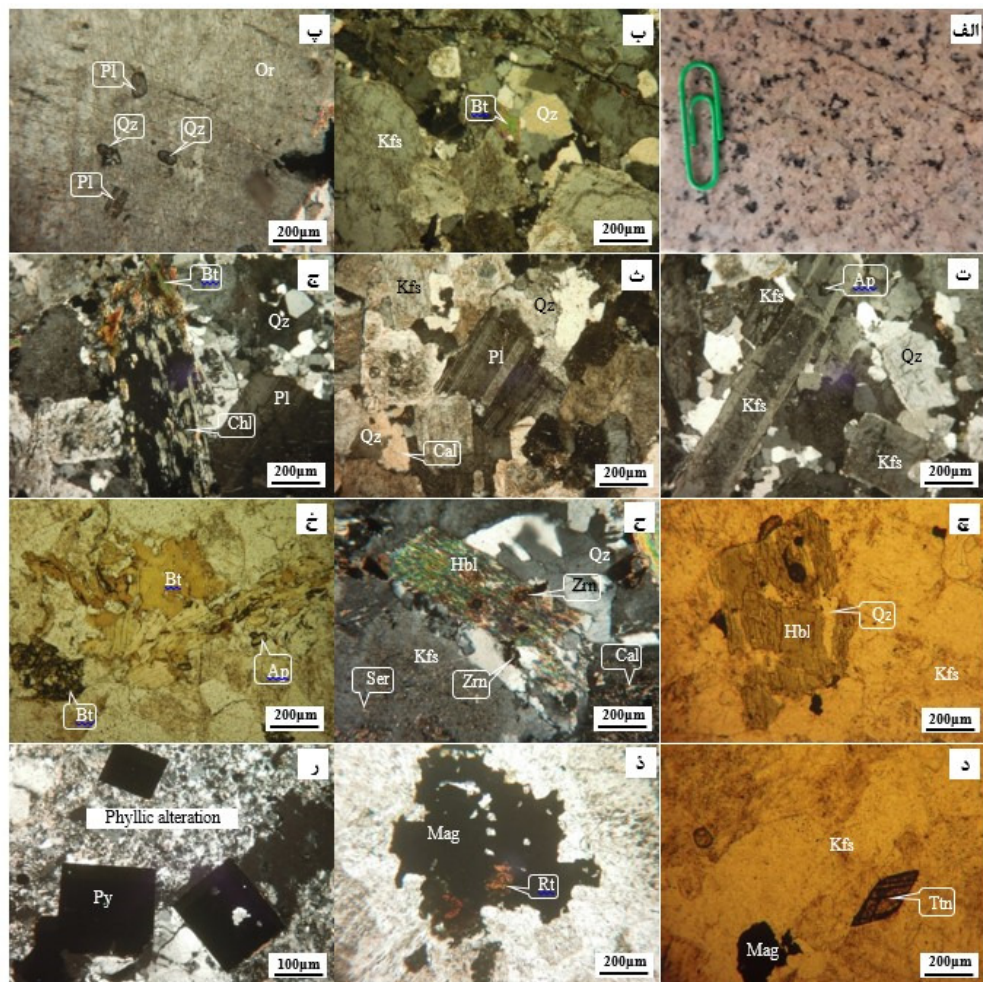
مولیبدن پورفیری در حاشیه غربی توده نفوذی کال کافی به صورت توده گرانیتی با رخساره ریزبلور و رنگ روشن اتفاق افتاده است (شکل ۲ - الف). این سنگ‌ها از نظر کانی‌شناسی غنی از فلدسپارپاتاسیم و کوارتز هستند و

۴- نتایج و بحث

۴-۱- پتروگرافی گرانیت کال کافی نمونه‌برداری از گرانیت‌وئید کال کافی از بخش گرانیت حاوی کانی‌سازی مس - مولیبدن انجام شد. کانی‌سازی مس -

فلدسبارپتاسیم و پلاژیوکلاز است. آپاتیت، تیتانیت، زیرکن و مگنتیت در مقادیر ناچیزی در این سنگ‌ها هستند. بلورهای فلدسبارپتاسیم (ارتوز) با ماکل کارلسbad از کانی‌های اصلی این سنگ‌هاست که به کانی‌های رسی از جمله کاٹولینیت و ایلیت دگرسان شده‌اند و در برخی موارد بافت پرتیت نشان می‌دهند (شکل ۲-پ و ت).

درصد کانی‌های مافیک (هورنبلند و بیوتیت) در آن‌ها بسیار پائین است. بافت اصلی گرانیت کال‌کافی، هیپ ایدیومورفیک گرانولار است و بافت پوئیکلیتیک و پرتریت نیز از بافت‌های فرعی در این سنگ است (شکل ۲-ب، پ و ت). این سنگ‌ها بافت پورفیری نیز نشان می‌دهند و درشت بلورهای موجود در آن‌ها مشکل از کوارتز،



شکل ۲. (الف) نمونه دستی از گرانیت ریزبلور صورتی کال‌کافی، (ب) بافت هیپ‌ایدیومورفیک گرانولار، XPL، (پ) بافت پوئیکلیتیک به صورت فراوانی ادخال‌های پلاژیوکلاز و کوارتز درون درشت بلور ارتوز با بافت پرتیت، XPL، (ت) بلورهای فلدسبارپتاسیم با ماکل کارلسbad و بلورهای رسی تا درشت کوارتز، سطح بلورهای فلدسبارپتاسیم دگرسان شده است، XPL، (ث) بلور درشت پلاژیوکلاز با ماکل ظرفیت پایی سنتیتیک که به صورت جزئی تحت تأثیر دگرسانی سریسیتی قرار گرفته، XPL، (ج) دگرسانی فیلیک و کلریتی شدن بیوتیت، XPL، (خ) بلور درشت هورنبلند تحت تأثیر دگرسانی سیلیسی، PPL، (ح) ادخال‌های زیرکن درون هورنبلند، XPL، (خ) تشکیل بیوتیت گرمایی ثانویه در امتداد فضاهای خالی گرانیت، PPL، (د) بلور شکل‌دار تیتانیت در زمینه فلدسبارپتاسیم، PPL، (ذ) دره‌مرشدی مگنتیت و روتیل، XPL، (ر) درشت بلورهای شکل‌دار پیریت در زمینه دگرسانی فیلیک، (پ) آپاتیت، Bt: بیوتیت، Cal: کلسیت، Chl: کلریت، Chl: هورنبلند، Hbl: هورنبلند، Kfs: کال‌کافی، Mag: مگنتیت، Or: ارتوز، Pl: فلدسبارپتاسیم، Py: پلاژیوکلاز، Qz: پیریت، Rt: زیرکن، Ttn: تیتانیت، Tn: روتیل.

Fig. 2. a) Hand specimen's photograph of pink fine-grained Kal-e Kafi granite, b) Hypidiomorphic-granular texture, XPL, c) Poikilitic texture as plagioclase and quartz inclusions within coarse-grained orthose, XPL, d) altered K-feldspar showing Carlsbad twinning and fine to coarse quartz, XPL, e) Plagioclase with polysynthetic twinning which altered to sericite, XPL, f) Phyllitic and chloritic alteration of biotite, XPL, g) Coarse- grained hornblende affected by silicification, PPL, h) Zircon inclusions within hornblende, XPL, i) Secondary hydrothermal biotite at open spaces of granite, PPL, j) euhedral titanite in k-feldspar, PPL, k) intergrowth of magnetite and rutile, XPL, l) euhedral coarse- grained pyrite in phyllitic alteration (Ap: apatite, Bt: biotite, Cal: calcite, Chl: chlorite, Hbl: hornblende, Kfs: k-feldspar, Mag: magnetite, Or: orthose, Pl: plagioclase, Py: pyrite, Qz: quartz, Rt: rutile, Ttn: titanite, Tn: zircon).

آب و هوایی گرم و خشک و زهکشی زیاد سنگ‌ها گسترش چندانی ندارد (باباخانی و همکاران، ۱۹۹۹). کانی‌سازی مس- مولیبدن درونزاد در گرانیت کال‌کافی به صورت افشار در متن سنگ و در رگه- رگچه‌های سیلیسی- کربناتی اتفاق افتاده است که کانی‌سازی منطقه درونزاد در اینجا بررسی شده است. کانی‌سازی مس- مولیبدن پورفیری در توده گرانیتی کال‌کافی در منطقه درونزاد همراه با تمرکز و کانی‌سازی اورانیوم، توریم و عناصر نادر خاکی است (شکل ۳). بیشترین حجم کانی‌سازی سولفیدی مس- مولیبدن درونزاد همراه با دگرسانی‌های پتاسیک (فلدسبارپتاسیم، بیوتیت)، فیلیک (کوارتز، سریسیت، پیریت) و آرژیلیک رخ داده است. مطالعات مینرالوگرافی و نتایج تجزیه پراش پرتو ایکس نشان می‌دهد که کانی‌های فلزی سولفیدی اولیه موجود در این منطقه شامل پیریت، کالکوپیریت و مولیبدنیت و همچنین کالکوسیت در مقادیر فرعی همراه با مقادیر ناچیزی گالن است (شکل‌های ۴ و ۵). سایر کانی‌های فلزی شامل مگنتیت و روتیل در مقادیر جزئی است. بورنیت، کوپیریت و کوولیت نیز از دگرسانی سایر کانی‌های مس در مقادیر ناچیزی حاصل شده‌اند (شکل ۴-ث و ج). دگرسانی پتاسیک با جانشینی آلبیت توسط فلدسبارپتاسیم و تشکیل بیوتیت ثالوثیه مشخص می‌شود که همزمان با آن، کانی‌سازی مس- مولیبدن اتفاق افتاده است (شکل ۵-ت). درشت بلورهای شکل‌دار تا نیمه شکل‌دار پیریت اغلب به صورت پراکنده و منفرد و گاه هم‌رشد با یکدیگر در داخل رگچه‌های سیلیسی- کربناتی وجود دارند (شکل ۴-الف، ۵-الف و ب). گاهی درشت بلورهای پیریت بافت غربالی و جزیره‌ای را نشان می‌دهند که بیانگر خوردگی سطحی و تأثیر شرایط اکسیداسیون در محیط می‌باشد. این کانی اولین کانی سولفیدی تشکیل شده در گرانیت کال‌کافی است. در برخی موارد، بلورهای درشت پیریت به کالکوپیریت و اکسیدهای آهن دگرسان شده‌اند (شکل ۵-پ). کالکوپیریت مهم‌ترین و فراوان‌ترین سولفید مس در این توده است و به صورت بلورهای بی‌شکل منفرد پراکنده یا به صورت رگه‌ای و گاه به صورت هم‌رشد با پیریت، مولیبدنیت و ایلمنیت همراه با رگچه‌های سیلیسی- کربناته و دگرسانی پتاسیک- فیلیک- آرژیلیک وجود دارد (شکل ۴- ب و پ، ۵-الف تا ج). کالکوپیریت همچنین به صورت جانشینی به جای پیریت نیز تشکیل شده است

در برخی موارد، درون درشت بلورهای فلدسبار پتاسیم، ادخال‌هایی از کوارتز و پلازیوکلاز (بافت پوئیکلیتیک) مشاهده شد که بیانگر رشد تاریخی تر فلدسبار پتاسیم نسبت به ادخال‌ها است (شکل ۲-پ). پلازیوکلازها فراوانی کمتری نسبت به فلدسبارهای پتاسیم دارند و دارای ماکل پلی‌سننتیک هستند (شکل ۲-ث). بلورهای درشت پلازیوکلاز تا حدی به سریسیت و کانی‌های رسی دگرسان شده‌اند. کوارتز به صورت بلورهای ریز تا درشت در نمونه حضور دارد (شکل ۲-ث و ج). گرانیت کال‌کافی حاوی رگه و رگچه‌های سیلیس، کالکوپیریت و نیز اکسیدهای آهن سوزنی شکل (هماتیت) می‌باشد که نشان می‌دهد سنگ پس از تشکیل تحت تأثیر محلول‌های سیلیسی قرار گرفته است. کانی‌های مافیک موجود در سنگ متتشکل از بیوتیت و هورنبلند در مقادیر بسیار کم هستند (شکل ج تا خ) که بیوتیتها در مرحله بعد تحت تأثیر دگرسانی، کلریتی شده‌اند (شکل ۲-ج). بیوتیتها اغلب به رنگ قهوه‌ای تا سیز هستند. آپاتیت، تیتانیت و زیرکن نیز به صورت بلورهای شکل‌دار در مقادیر فرعی در سنگ تشکیل شده‌اند (شکل ۲-ح تا د). کانی‌های اپیک اصلی در این سنگ شامل کالکوپیریت، مولیبدنیت، پیریت و مگنتیت است که در مقادیر فرعی در مقاطع مشاهده شد (شکل ۲-د تا ر). هماتیت، روتنیل و گالن نیز در مقادیر ناچیز در نمونه‌ها مشاهده شد (شکل ۲-ذ). حضور تیتانیت، مگنتیت و کوارتز همراه با هورنبلند در این گرانیت‌ها بیانگر فوگاسیته بالای اکسیژن مagemای مادر است (ونز، ۱۹۸۹). دگرسانی‌های مشاهده شده در نمونه‌های گرانیت کال‌کافی شامل پتاسیک، فیلیک، آرژیلیکی، کلسیتی شدن و کلریتی شدن (تأخیری) است (شکل ۲-ث و ج). کالکوپیریت عمده‌تاً در بین بلورها و داخل شکستگی و امتداد رخ کانی ارتوز تشکیل شده است. گرانیت کال‌کافی تحت تأثیر نفوذ و عبور سیالات کانی‌ساز متحمل دگرسانی ضعیف پتاسیک، فیلیک و آرژیلیک شده و توسط رگچه‌های نازک سیلیسی در جهات مختلف قطع شده است.

۴-۲- کانی‌سازی منطقه درونزاد

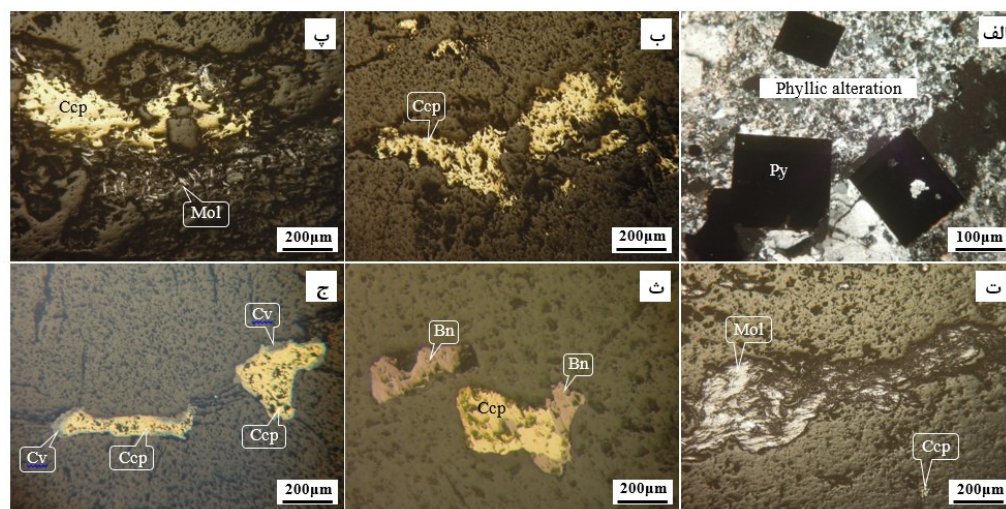
به طور کلی کانی‌سازی مس- مولیبدن پورفیری در سه منطقه درونزاد، برونزاد و اکسیدی روی می‌دهد که کانی‌سازی برونزاد در منطقه کال‌کافی به جز در بخش‌های کم عمق و به صورت پراکنده به دلیل حاکم بودن شرایط

برخی موارد، کالکوپیریت به صورت همرشد با مگنتیت و یا ادخال مگنتیت درون کالکوپیریت مشاهده می‌شود که نشان‌دهنده تأخیر تشکیل فاز کالکوپیریت نسبت به مگنتیت است (شکل ۵-ج).

(شکل ۵-پ) و خود توسط بورنیت، کالکوسیت و کوولیت جایگزین شده است (شکل ۴-ث و ج-۵-ث تا ج). با توجه به درشت و شکل دار بودن بلورهای پیریت و تشکیل کالکوپیریت از دگرسانی پیریت می‌توان نتیجه گرفت که تشکیل پیریت پیش از کالکوپیریت اتفاق افتاده است. در

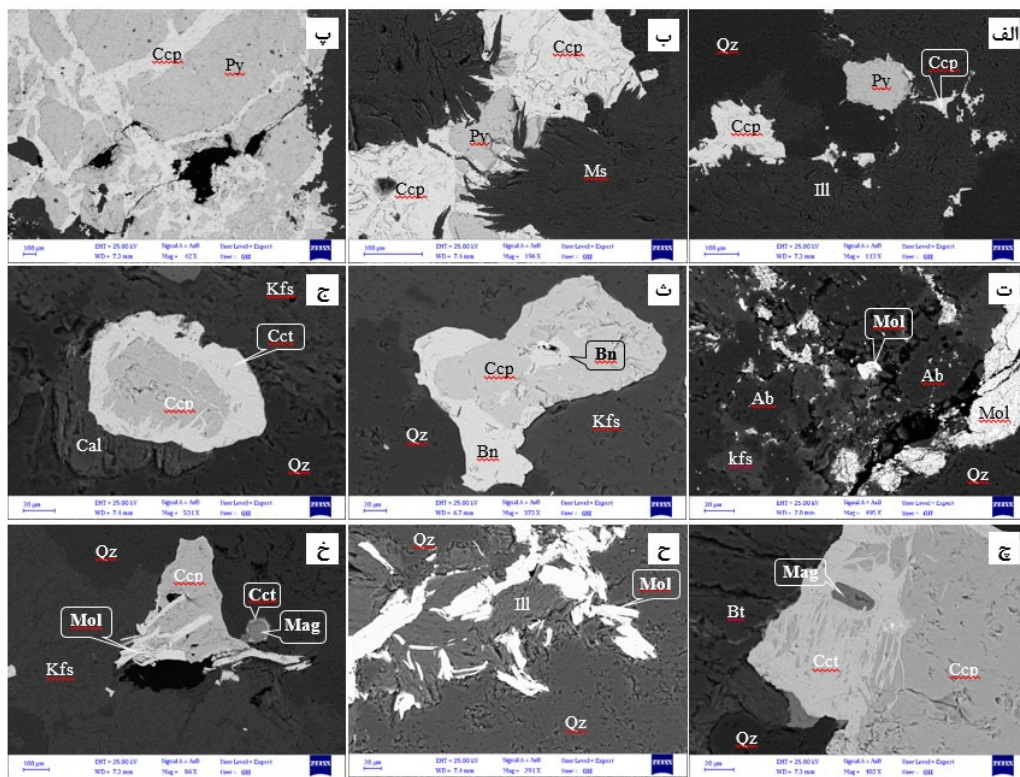


شکل ۳. توالی پارازنزی کانی‌سازی مس-مولیبدن و اورانیوم، توریم و عناصر نادر خاکی در منطقه درونزاد کانسار کال‌کافی
Fig. 3. Paragenetic sequence for the hypogene Cu-Mo and U-Th-REE mineralization in the Kal-e Kafi deposit



شکل ۴. تصاویر میکروسکوپی مقاطع نازک-صیقلی کانسار کال‌کافی از، الف) درشت بلورهای شکل دار پیریت در زمینه دگرسانی فیلیک، XPL، ب) رگچه کالکوپیریت در گرانیت، پ) رگچه کلسیتی و سیلیسی حاوی کالکوپیریت و مولبیدنیت، ت) رگچه مولبیدنیت قطع کننده گرانیت، ث) بورنیتی شدن کالکوپیریت، ج) کوولیتی شدن کالکوپیریت (Bn: bornite, Cep: chalcopyrite, Cv: covellite, Mol: molybdenite, Py: pyrite).

Fig. 4. Photomicrographs of Kal-e Kafi thin-polished sections showing, a) Euhedral coarse-grained pyrite in phyllitic alteration, XPL, b) Chalcopyrite veinlet in granite, c) Quartz-calcite veinlet containing chalcopyrite and molybdenite, d) molybdenite veinlet cutting granite, e) Replacement of chalcopyrite by bornite, f) alteration of chalcopyrite to covellite (Bn: bornite, Cep: chalcopyrite, Cv: covellite, Mol: molybdenite, Py: pyrite).



شکل ۵ تصاویر BSE از، (الف) پاراژن بلورهای بی‌شكل منفرد پراکنده پیریت با کالکوپیریت در دگرسانی فیلیک- آرژیلیک، (ب) رگچه پیریت و کالکوپیریت در زمینه مسکویت، (ب) کالکوپیریتی شدن بلور درشت پیریت، (ت) دگرسانی آلیت اولیه به فلدسپار پاتاسیم (دگرسانی پاتاسیک) و تشکیل مولیبدنیت همزمان با آن، (ث) بورنیتی شدن کالکوپیریت از حاشیه و مرکز، (ج) کالکوپیریت شدن کالکوپیریت از حاشیه، (ج) وجود ادخال مگنتیت در کالکوپیریت و کالکوپیریتی شدن کالکوپیریت از حاشیه، (ح) رگچه مولیبدنیت-آلیت در دگرسانی فیلیک، (د) احاطه شدن مولیبدنیت توسط کالکوپیریت بورنیت، (ه) بورنیت، Cal: کلسیت، Ccp: کالکوپیریت، Cct: کالکوپیریت، Cv: کوولیت، Ilm: آیلینیت، Kfs: فلدسپارپاتاسیم، Mag: مگنتیت، Mol: مولیبدنیت، Ms: مسکویت، Py: پیریت، Qz: کوارتز.

Fig. 5. BSE images of, a) paragenesis of anhedral pyrite with chalcopyrite in phyllitic- argillic alteration, b) Pyrite- chalcopyrite veinlet within muscovite, c) Replacement of pyrite by chalcopyrite, d) alteration of albite to K-feldspar (potassic alteration) and formation of molybdenite, e) alteration of chalcopyrite to bornite from margin and center, f) Replacement of chalcopyrite by chalcocite from margin, g) magnetite inclusion within chalcopyrite and replacement of chalcopyrite by chalcocite from margin, h) Molybdenite- illite veinlet in phyllitic alteration, i) Chalcopyrite around molybdenite (Bn: bornite, Bt: biotite, Cal: calcite, Ccp: Chalcopyrite, Cct: Chalcocite, Cv: covellite, Ill: illite, Ilm: ilmenite, Kfs: k-feldspar, Mag: magnetite, Mol: molybdenite, Ms: muscovite, Py: pyrite, Qz: quartz).

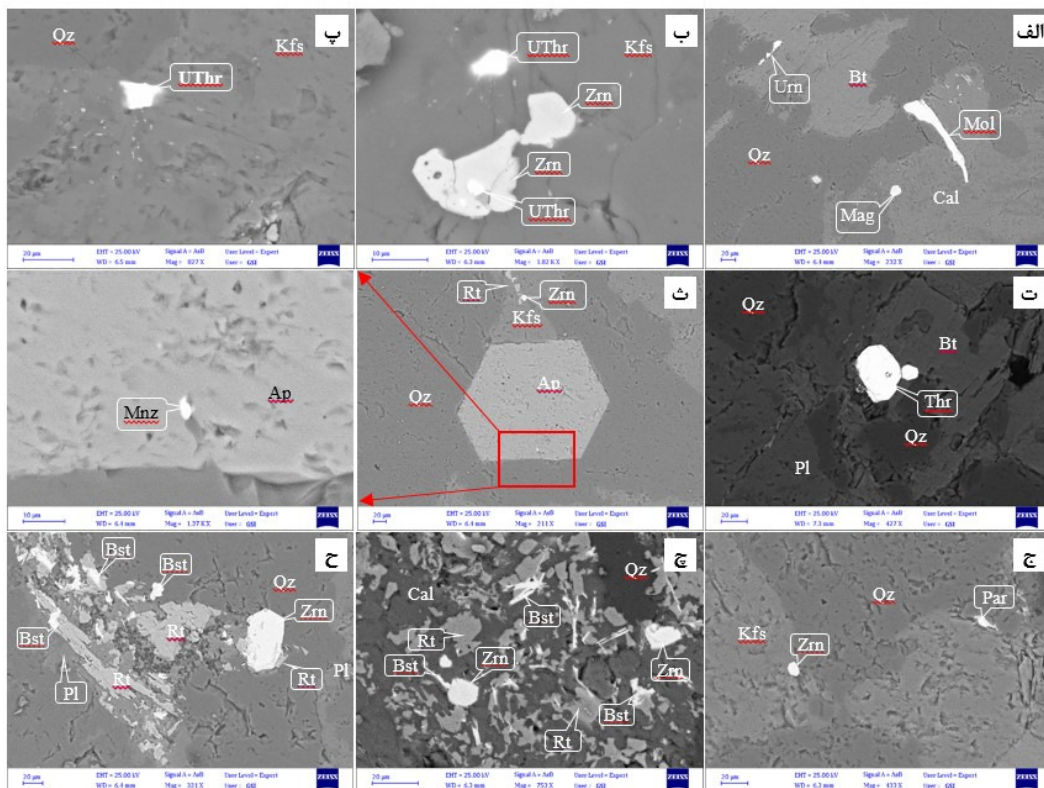
مولیبدنیت است و احتمالاً در بیشتر مواقع در ارتباط و همزمان با تبلور گرانیت و قبل از شروع سولفیدزایی است. مگنتیت در بسیاری از موارد مارتیتی شده است. مگنتیت به مقدار ناچیزی در داخل رگچه‌های سیلیسی- کربناته حضور دارد. کانی اصلی میزبان اورانیوم و توریم در کانسار کال کافی، اورانینیت توریم‌دار، اورانوتوریت و توریت اورانیوم‌دار است (شکل ۶-الف تا ت). اورانینیت به صورت نیمه شکل‌دار و پاراژن با مولیبدنیت و مگنتیت و به صورت ادخال در کانی‌های اصلی تشکیل دهنده گرانیت کال کافی وجود دارد (شکل ۶-الف). بلورهای اورانینیت حاوی حداقل ۱۰ درصد توریم هستند. اورانوتوریت و توریت اورانیوم‌دار به صورت ادخال نیمه شکل‌دار تا شکل‌دار

مولیبدنیت عمدهاً به صورت بلورهای کشیده پراکنده و منفرد یا رگه‌ای و گاه به صورت هم‌رشد با کالکوپیریت تشکیل شده است (شکل ۴-پ و ت، ۵-ح و خ). در برخی از موارد کالکوپیریت کانی مولیبدنیت را احاطه نموده و در طول شکستگی‌های درون آن نفوذ نموده است، که این می‌تواند بیانگر تشکیل مولیبدنیت قبل از ایجاد بلورهای کالکوپیریت باشد. گاهی نیز مشاهده می‌شود که بلورهای کالکوپیریت توسط رشته‌های مولیبدنیت قطع شده‌اند و این حاکی از رشد تأخیری مولیبدنیت نسبت به دانه‌های کالکوپیریت است (شکل ۵-خ).

مگنتیت مهم‌ترین کانی اکسیدی در این توده است که فراوانی آن به مراتب کمتر از کالکوپیریت، پیریت و

به صورت ادخال ریز شکل دار در کانی آپاتیت تشکیل شده است (شکل ۶-ث). پاریسیت نیز به صورت ادخال در زمینه کانی فلدسپارپتاسیم و کوارتز مشاهده شد (شکل ۶-ج). باستنازیت عمدتاً به صورت بلورهای کشیده و گاه نیمه شکل دار در فضاهای خالی و حفرات حاصل از دگرسانی کانی‌های اولیه گرانیت (دگرسانی پتاسیک، سیلیسی و کلسیتی) همراه با روتیل، زیرکن، مگنتیت و ایلمینیت تشکیل شده است (شکل ۶-ج و ح). براساس نتایج آنالیز ایدکس میکروسکوپ الکترونی برخی بلورهای زیرکن در کانسار کال کافی مقدار ۹-۱۲ درصد نئودیمیوم را نشان داد. این کانی عمدتاً به صورت ادخال شکل دار و گاهی نیمه شکل دار در بیوتیت، فلدسپارپتاسیم و پلاژیوکلاز تشکیل شده است (شکل ۶-ت). از کانی‌های عناصر نادر خاکی در منطقه (شکل ۶-ت). درونزad کانسار کال کافی می‌توان به مونازیت، باستنازیت و درصد و نئودیمیوم (۱۷/۷-۳۳/۵ درصد)، لانتانیم (۹/۳-۱۹/۵ درصد) و نئودیمیوم (۸/۹-۱۲/۵ درصد) هستند (جدول ۳).

زمینه فلدسپارپتاسیم، بیوتیت و پلاژیوکلاز سیلیسی شده تشکیل شده است (شکل ۶-ب تا ت). فلدسپارپتاسیم حاوی ادخال‌هایی از کالکوپیریت، زیرکن، توریت، مگنتیت و ایلمینیت است (شکل ۶-ت). کانی اورانوتوریت تا ۳۰ درصد دارای اورانیوم است (جدول ۳). آنالیز ایدکس میکروسکوپ الکترونی برخی بلورهای زیرکن در کانسار کال کافی مقدار ۹-۱۲ درصد نئودیمیوم را نشان داد. این کانی عمدتاً به صورت ادخال شکل دار و گاهی نیمه شکل دار در بیوتیت، فلدسپارپتاسیم و پلاژیوکلاز تشکیل شده است (شکل ۶-ت). از کانی‌های عناصر نادر خاکی در منطقه درونزad کانسار کال کافی می‌توان به مونازیت، باستنازیت و پاریسیت اشاره نمود (شکل ۶-ت تا ح). مونازیت به ندرت



شکل ۶ تصاویر BSE از، الف) تشکیل اورانینیت و مولبیدنیت هم‌زمان با سیلیسی و کلسیتی شدن، ب) ادخال اورانوتوریت و زیرکن در زمینه فلدسپارپتاسیم سیلیسی شده، پ) ادخال اورانوتوریت در زمینه فلدسپارپتاسیم، ت) ادخال توریت اورانیومدار در بیوتیت و پلاژیوکلاز سیلیسی شده، ث) ادخال مونازیت در بلور درشت شکل دار آپاتیت، ج) ادخال زیرکن و پاریسیت در فلدسپارپتاسیم و کوارتز، د) درهم‌رشدی باستنازیت، زیرکن و روتیل در دگرسانی سیلیسی و کلسیتی، ح) درهم‌رشدی باستنازیت، روتیل و زیرکن در فضاهای خالی حاصل از دگرسانی سیلیسی پلاژیوکلاز (Ap: آپاتیت، Bst: باستنازیت، Bt: بیوتیت، Cal: کلسیت، Kfs: کالکوپیریت، Mag: مگنتیت، Mnz: مولبیدنیت، Mol: مولبیدنیت، Par: پاریسیت، Pl: پلاژیوکلاز، Qz: کوارتز، Rt: روتیل، Thr: توریت، Urn: اورانینیت، Zrn: زیرکن).

Fig. 6. BSE images, a) Formation of uraninite and molybdenite paragenesis with silicic and calcitic alterations, b) Urano-thorite and zircon inclusions within silicified K-feldspar, c) Urano-thorite inclusion in K-feldspar, d) Uranium- bearing thorite inclusion in biotite and silicified plagioclase, e) Monazite inclusion in euhedral coarse-grained apatite, f) Zircon and parasite inclusions in K-feldspar and quartz, g) Intergrowth of bastnasite, rutile and zircon in open spaces during silicification of plagioclase (Ap: apatite, Bst: Bastnasite, Bt: biotite, Cal: calcite, Kfs: k-feldspar, Mag: magnetite, Mnz: monazite, Mol: molybdenite, Par: parasite, Pl: plagioclase, Qz: quartz, Rt: rutile, Thr: thorite, Urn: uraninite, Uthr: urano-thorite, Zrn: zircon).

جدول ۳. آنالیز EDS برخی کانی‌های میزبان اورانیوم، توریم و یا عناصر نادر خاکی (برحسب درصد)

Table 3. EDS analyses of some U, Th and REE host minerals (%)

Total	F	O	C	Nd	Ce	La	Ca	
100	1.8	15.7	6.1	9.7	28.3	19.5	18.9	پاریسیت
100	4.1	24.5	8.2	-	30.2	17.8	15.2	
100	5.9	27.6	8.4	-	27.5	14.1	16.5	
98.2	5.9	21.6	6.4	8.9	24.8	14.7	15.9	
100	9.1	26.4	8.1	12.5	17.5	9.3	17.1	
90	11.6	33.3	8.7	-	25.8	10.6	-	
100.3	7.7	24.2	7.4	12.5	33.5	15	-	باستنازیت
100	9.5	25.9	6.8	11.2	33.5	13.1	-	
100	4.7	28.5	8.7	12.4	26.6	19.1	-	
		Total	O	Si	U	Th		
		100	14.7	7.1	16.7	61.5		اورانوتوریت
		100	12.6	7.1	15.1	65.2		
		100	14.5	8.1	15.1	62.3		
		100	14.7	7.1	16.8	61.4		
		100	13.7	10.2	29.7	46.4		توریت
		100	20.1	9.6	3.4	66.9		
		100	16.8	10.3	2.8	70.1		
		100	18.7	8.7	6.4	66.2		
		100	13.7	-	77.2	9.1		اورانینیت
		100	14.6	-	75.6	9.8		

مقابل سری‌های کالک‌آلکالن با مقدار پتاسیم بالا عمدتاً حاوی کانی‌های آبدار آمفیبول و بیوتیت هستند (ایم و همکاران، ۲۰۲۱). با توجه به وجود آمفیبول و بیوتیت در گرانیت کالکافی و عدم وجود کلینوپیروکسن می‌توان نتیجه گرفت که گرانیت کالکافی دارای ماهیت کالک‌آلکالن پتاسیم بالا است. جهت تعیین محیط تکتونیکی گرانیت کالکافی از نمودارهای ارائه شده توسط پیرس و همکاران (۱۹۸۴) و پیرس (۲۰۰۸) استفاده شده است. براساس نمودار Yb در برابر Ta، گرانیتها مورد مطالعه از نوع گرانیت کمربندهای آتشفشاری پهنه فرورانش هستند (شکل ۷-پ). براساس نمودار Th/Yb در برابر Nb/Yb، گرانیتها کالکافی در موقعیت تکتونیکی کمان آتشفشاری قرار می‌گیرند (شکل ۷-ت). در نتیجه می‌توان بیان کرد که تشکیل این توده در ارتباط با کمان ماقمایی ارومیه-دختر بوده است.

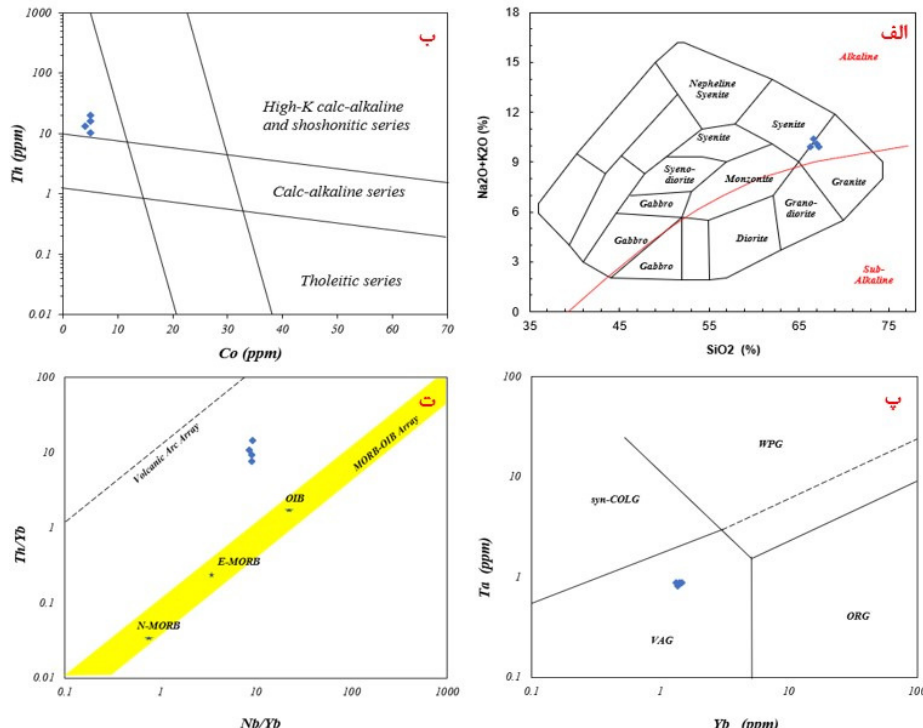
جهت بررسی خصوصیات ژئوشیمیایی منطقه کانی‌سازی درونزاد، تعداد ۵ نمونه از گرانیت حاوی کانی‌سازی در منطقه مورد مطالعه انتخاب و آنالیز شد (جدول ۱). مقادیر عناصر نادر خاکی و عناصر نامتحرك در نمونه‌های کانسنگ مورد مطالعه نسبت به کندریت (سان و مکدوناگ، ۱۹۸۹) بهنجار شد و در شکل ۸ ارائه گردیده است. الگوی بهنجار شده عناصر نادر خاکی نشان می‌دهد که عناصر نادر خاکی

۳-۴- ژئوشیمی

جهت بررسی خصوصیات ژئوشیمیایی، نتایج حاصل از آنالیز شیمیایی تعداد ۴ نمونه از گرانیت کالکافی از احمدیان (۲۰۱۲) استخراج و در جدول ۲ آورده شده است. براساس شکل ۷، نمونه‌ها در محدوده گرانیت تصویر شده‌اند. براساس نمودار ایروین و باراکار (۱۹۷۱)، گرانیت کالکافی در محدوده ساب‌آلکالن به سمت آلکالن قرار گرفته‌اند (شکل ۷-الف). در نمودار Th در برابر Co (هاستیه و همکاران، ۲۰۰۷)، گرانیتها در محدوده ماقماهای سری کالک‌آلکالن با محتوای بالای پتاسیم یا شوشوونیتی قرار می‌گیرند (شکل ۷-ب). ماقمای شوشوونیتی به دلیل درجات مختلف ذوب بخشی مناطق غنی شده در منابع گوشه‌ای دورگه (یانگ و همکاران، ۲۰۱۲؛ کاستا و همکاران، ۲۰۲۰) و یا عوامل مختلف متاسوماتیت در منابع گوشه‌ای غنی شده (زمبیونی و همکاران، ۲۰۱۶)، اغلب همراه با ماقمای کالک‌آلکالن پتاسیم بالا است. همچنین، فرآیندهای تفریق ماقما می‌تواند سبب گذار از ماقماهای کالک‌آلکالن به شوشوونیتی شود (فنگ و ژو، ۲۰۱۹). از نظر کانی‌شناسی، مجموعه کانی‌های مافیک در سری‌های تولئیتی شامل کلینوپیروکسن ± اولیوین ± آمفیبول ± بیوتیت است و در

سبک نسبت به سنگین را نشان می‌دهد. عناصر نادر خاکی سبک نسبت به عناصر نادر خاکی سنگین ۱۴–۱۹ برابر غنی‌شدگی دارند. مقادیر REE در نمونه‌های مورد مطالعه از ۱/۱۱۱ تا ۷۲/۱ پی‌پی‌ام تغییر می‌کند.

سبک (LREE) به شدت تفریق یافته‌اند، در حالی که عناصر نادر خاکی سنگین (HREE) با شیب آرامی تفریق پیدا کرده‌اند. همچنین الگوی بهنجار شده عناصر نادر خاکی، ناهنجاری ضعیفی از Eu و غنی‌شدگی عناصر نادر خاکی

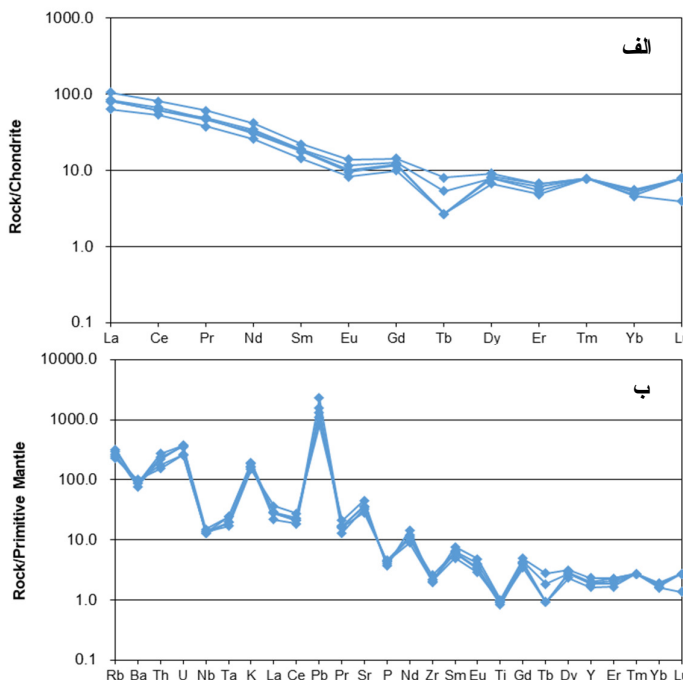


شکل ۷. a) نمودار نامگذاری نمونه‌ها و تفکیک سنگ‌های آذرین آلکالن از ساب آلکالن، نمونه‌ها در محدوده گرانیت قرار گرفته‌اند، b) نمودار تعیین سری ماقمایی، همه نمونه‌ها در محدوده آلکالن قرار گرفته‌اند، c) نمودارهای تعیین موقعیت تکتونیکی، همه نمونه‌ها در موقعیت کمان آتش‌شانی واقع شده‌اند.

Fig. 7. a) Discrimination and classification diagrams for the igneous rocks, the samples plot on granite field, b) Magma series classification diagrams, the Kal-e Kafi granite put in alkaline series, c,d) Tectonic discrimination diagram, the samples plot in volcanic arc setting.

عمدتاً اورانینیت، اورانوتوریانیت و اورانوتوریت در سنگ‌های با منشأ ماقمای نفوذی یا آناتکسی تشکیل شده‌اند. این نوع ذخیره دارای پنج زیر رده آل‌اسکیت، کوارتز مونزونیت (مس پورفیری)، کربناتیت، سینیت پرآلکالن و پگماتیت‌ها است (جدول ۴). این کانسارها به غیر از زیر رده پگماتیت‌ها معمولاً عیار سیار پایینی (۴۰۰–۲۰۰ پی‌پی‌ام اورانیوم) دارند ولی می‌توانند حجم ذخیره نسبتاً بالایی داشته باشند (دالکمپ، ۱۹۹۳، ۲۰۰۹). ذخایر نوع کوارتز مونزونیت حاوی کانی‌سازی اورانیوم با عیارهای سیار پایین در کمپلکس‌های گرانیتی به شدت تفریق یافته تا کوارتز مونزونیتی می‌بمان کانی‌سازی مس پورفیری به صورت کانی‌های اورانیوم پراکنده می‌باشد (دالکمپ، ۱۹۹۳، ۲۰۰۹).

الگوی بهنجار شده عناصر نامتحرك در شکل ۸-ب مشابه با الگوهای مربوط با مناطق فروزانش به صورت دندانه‌ای و زیگزاگی شکل می‌باشد. وجود ناهنجاری منفی P, Ta-Nb, Ti, آنومالی مثبت Sr و غنی‌شدگی زیاد Th از ویژگی‌های ماقماهای مرتبط با فروزانش است (پیرس و کان، ۱۹۷۳؛ ویلسون، ۱۹۸۹). براساس شکل ۸، عناصر اورانیوم، توریم و نادر خاکی در کانی‌سازی درونزد کال‌کافی به شدت غنی شده‌اند. مقادیر مس و مولیبدن در نمونه‌های مورد مطالعه به ترتیب در محدوده ۳۷۰ تا ۵۵۷۸ و ۱۰/۱ تا ۱۱۹۳/۱ پی‌پی‌ام با میانگین ۲۷۴۰ و ۲۹۶ پی‌پی‌ام تغییر می‌کند. براساس طبقه‌بندی دالکمپ (۱۹۹۳، ۲۰۰۹) و آژانس بین‌المللی انرژی اتمی (۲۰۱۸)، یکی از انواع ذخایر اورانیوم، ذخایر نفوذی هستند که کانی‌های اورانیوم اولیه



شکل ۸. نمودارهای عنکبوتی عناصر، (الف) ناسازگار و (ب) نادر خاکی بهنجار شده نسبت به کندریت نمونه‌های کانسنگ

Fig. 8. Chondrite normalized a) incompatible elements and b) REE patterns of the ore samples

جدول ۴. خصوصیات زیررده‌های ذخایر اورانیوم نفوذی (دالکمپ، ۱۹۹۳، ۲۰۰۹؛ سازمان بین‌المللی انرژی اتمی، ۲۰۱۸) و مقایسه کانسار کال‌کافی با زیررده گرانیت- مونزونیت (مس پورفیری)

Table 4. The characteristics of various sub-types of intrusive uranium deposits (Dahlkamp, 1993, 2009; IAEA, 2018) and comparison of the Kal-e Kafi deposit with granite- monzonite subtype (Cu porphyry)

کانسار کال‌کافی	ذخیر اورانیوم نفوذی					ویژگی‌ها
	گرانیت- مونزونیت (مس پورفیری)	پگماتیت	سینیت پرآلکالن	کربناتیت	آلاسکیت	
همزمان با نفوذ گرانیتوئید کال‌کافی	همزمان با نفوذ (گرانیتی شدن)	همزمان با نفوذ (ماگما، تفریق یافته)	همزمان با نفوذ (ارتوماگمایی)	همزمان با نفوذ (ارتوماگمایی)	همزمان با نفوذ (گرانیتی شدن)	توع توده نفوذی و ارتباط آن با کانی‌سازی
مرتبط با کمان‌های آشکشانی و همزمان تا پس از کوهزاری در داخل کمریندهای متخرک	همزمان تا پس از کوهزاری در داخل کمریندهای متخرک	همزمان تا پس از کوهزاری در داخل کمریندهای متخرک	همزمان تا پس از کوهزاری در داخل کمریندهای متخرک	همزمان تا پس از کوهزاری در داخل کمریندهای متخرک	همزمان تا پس از کوهزاری در داخل کمریندهای متخرک	محیط تکتونیکی تشکیل توده نفوذی مرتبط با کانی‌سازی
سنگ میزان: گرانیت به شدت تفریق یافته با مونزونیت همراه با کانی‌سازی مس- مولیبدن پورفیری	سنگ میزان: گرانیت به شدت تفریق یافته با مونزونیت همراه با کانی‌سازی مس پورفیری	سنگ میزان: پگماتیت به صورت استوک‌های ماغمایی اسیدی	سنگ میزان: توده نفوذی الکالن	سنگ میزان: کمبیکس کربناتیتی تفریق یافته همراه با کانی‌سازی عناصر نادر خاکی	سنگ میزان: آلاسکیت متوسط تا بسیار درشت‌دانه حاصل از ذوب بر جا	نوع سنگ میزان
اورانیتیت، اورانیوتوریت و توریت اورانیومدار به صورت پراکنده	کانی‌سازی اورانیوم به صورت پراکنده و منظم	کانی‌سازی اورانیوم به صورت عدسی و نامنظم	کانی‌سازی اورانیوم به صورت پراکنده و منظم	کانی‌سازی اورانیوم به صورت پراکنده و منظم	کانی‌سازی اورانیوم به صورت پراکنده و منظم	نحوه کانی‌سازی
عيار ۵ تا ۷ بیجی ام اورانیوم (منطقه کانی‌سازی درونزاد)	عيار بسیار پایین اورانیوم	عيار متغیر اورانیوم و اغلب پایین اورانیوم	عيار بسیار پایین اورانیوم	عيار بسیار پایین اورانیوم	ذخیره با تناظر بالا و عیار بسیار پایین اورانیوم	عيار
	بینگهام (آمریکا)	بانکرات (کانادا)	ایلی‌ماسک (گرینلند)	بالابورا (آفریقای جنوبی)	راسینگ (تامبیبا)	نمونه‌ای از ذخیره

محتوای توریم در نمونه‌های مورد مطالعه از ۱۳/۱ تا ۲۲/۲ بی‌ام در نوسان است. همبستگی اورانیوم و توریم با مس (۰/۹، ۰/۷۵) و مولیبدن (۰/۵۸ و ۰/۲) مثبت است که بیانگر کانی‌سازی اورانیوم و توریم همراه با کانی‌سازی مس و مولیبدن در منطقه درونزad است. کانی‌سازی اورانیوم در کانسار کال‌کافی منطبق با خصوصیات زیررده گرانیت-موزونیت (مس پورفیری) در ذخایر اورانیوم نفوذی می‌باشد (جدول ۴).

۵- نتیجه‌گیری

براساس مطالعات میکروسکوپی و ژئوشیمی سنگ میزبان کانی‌سازی درونزاد مس-مولیبدن، ترکیب سنگ‌شناختی این بخش از توده گرانیتوئیدی کال‌کافی گرانیت بوده و مشخصات یک ماقمای کالک‌آلکالن با محتوای بالای پتاسیم را دارد. براساس نمودارهای ژئوشیمیایی، این گرانیتها در محیط تکتونوماگمایی مرتبط با فروراش (کمان‌های آتشفشانی) شکل گرفته‌اند. نظر به اینکه طبق نظر دالکمپ (۱۹۹۳، ۲۰۰۹)، ذخایر مس-مولیبدن پورفیری در محیط‌های تشکیل همزمان تا پس از کوه‌زایی مستعد غنی‌شدنی اورانیوم هستند، گرانیت کال‌کافی حاوی کانی‌سازی اورانیوم نیز در موقعیت تکتونیکی همزمان تا پس از کوه‌زایی تشکیل شده است. وجود گسترده کانی‌های سولفیدی اولیه مانند کالکوپیریت، پیریت، مولیبدنیت و کالکوسویت در سنگ‌های مورد مطالعه و فراوانی بسیار کم بورنیت، کوپریت و کوولیت که به صورت ثانویه و در اثر جانشینی کالکوپیریت تشکیل شده‌اند، بیانگر شرایط درونزاد و نقش گرانیت کال‌کافی در کانی‌سازی مس-مولیبدن است. در این کانسار علاوه بر کانی‌سازی مس و مولیبدن، کانی‌های اورانیوم، توریم و عنصر نادر خاکی نیز در منطقه درونزاد مشاهده می‌شود. کانی اصلی میزبان اورانیوم و توریم اورانینیت توریم‌دار، اورانوتوریت و توریت اورانیوم‌دار است که به صورت پراکنده در کانی‌سازی درونزاد گرانیت کال‌کافی تشکیل شده است. بلورهای اورانینیت و اورانوتوریت به ترتیب حاوی حداکثر ۱۰ درصد توریم و ۳۰ درصد اورانیوم هستند. کانی‌های اصلی میزبان عنصر نادر خاکی مونازیت، باستنازیت و پاریسیت است که محتوای سریم، لانتانیم و نئودیمیم در آن‌ها به ترتیب از ۱۷/۷ تا ۳۳/۵، ۹/۳ تا ۱۹/۵ و ۸/۹ تا ۱۲/۵ درصد تغییر می‌کند. میانگین مقدار عنصر مس، مولیبدن، اورانیوم،

رفتار ناسازگار اورانیوم در ماقماهای سیلکاته منجر به تمرکز اورانیوم در مذاب‌های فلزیک شده است و همچنین سبب شده است که گرانیتها و ریولیت‌ها به عنوان منابع اولیه اورانیوم در تشکیل ذخایر اورانیوم شناخته شوند. با این وجود، ذخایر اورانیومی که مستقیماً از فرآیندهای ماقمایی نشأت گرفته باشند، بسیار نادر هستند (کوئنی، ۲۰۱۴). غنی‌شدنی اورانیوم در سیستم‌های پورفیری مرتب با سنگ‌های آذرین کالک‌آلکالن غیر معمول است و در مقابل، اورانیوم در ذخایر پورفیری مرتب با توده‌های نفوذی آلکالن غنی‌شدنی نشان می‌دهد (رایس و همکاران، ۱۹۸۵؛ ریچاردز و مومن، ۲۰۱۳). اورانیوم در سنگ‌های ماقمایی محدوده کانسار Vathi دارای غلظت متوسط تا بالا (۱۴ تا ۱۰۶ پی‌پی‌ام) است که در بخش‌های سطحی و بشی مقدار آن تا حداکثر ۳۲۸ بی‌بی‌ام می‌رسد. تمرکز بالای اورانیوم در این منطقه در ارتباط با مراحل نهایی تبلور ماقمای آلکالن در حین حرکت در امتداد گسل‌های عمیق منطقه‌ای است (استرجیو و همکاران، ۲۰۲۱). اورانیوم به صورت محصول جانبی بین سال‌های ۱۹۷۸ تا ۱۹۸۹ در کانسار مس پورفیری بینگهام در ایالت یوتا آمریکا استحصال شد و عیار اورانیوم در کانسنگ مس-مولیبدن ۲۰ تا ۵۰ پی‌پی‌ام گزارش شده بود (دالکمپ، ۲۰۰۹، ۲۰۱۰). براساس یوستن و بالانتین (۲۰۱۰)، مقدار اورانیوم در بخش‌های عمیق و منطقه درونزاد در این کانسار بین ۵ تا ۷ پی‌پی‌ام بود. در این ذخیره هیچگونه کانی مستقل اورانیوم مشاهده نشده است و گمان بر این است که اورانینیت یا اورانوتوریانیت با ابعاد میکرونی وجود داشته باشد (دالکمپ، ۲۰۱۰؛ جان و تیلور، ۲۰۱۶). همچنین اورانیوم به صورت محصول جانبی از ذخیره مس پورفیری تؤیین بوتز در ایالت آریزونا آمریکا بین سال‌های ۱۹۸۰ تا ۱۹۸۵ استحصال می‌شد (دالکمپ، ۲۰۰۹، ۲۰۱۰).

چهار نوع گرانیت یا ریولیت شامل پرآلکالن، کالک‌آلکالن متا‌لومین با محتوای بالای پتاسیم یا شوشوونیتی، پرآلومین نوع L و پگماتیت‌های آنانکسی می‌توانند حاوی مقادیر قابل توجهی اورانیوم به عنوان منبع تأمین این عنصر برای تشکیل ذخایر اورانیوم باشند (کوئنی، ۲۰۱۴). نمونه‌های گرانیت کال‌کافی به دلیل ماهیت کالک‌آلکالن با محتوای بالای پتاسیم نیز غنی‌شدنی اورانیوم را نشان می‌دهند (شکل ۸-ب). مقدار اورانیوم در نمونه‌های مورد مطالعه از ۵/۴ تا ۷/۸ بی‌بی‌ام با میانگین ۷ بی‌بی‌ام متغیر است.

- Districts, Utah. Society of Economic Geologists, Guidebook Series, 41: 35-49. doi:10.5382/GB.41.004.
- Babakhani, A., Radfar, J., and Majidi, J (1999) Remote sensing studies in Kuh-e Khuni- Kuh-e Kal-e Kafi. National Iranian Copper Industries Company, 36p (in persian).
- Casetta, F., Ickert, R. B., Mark, D. F., Giacomoni, P. P., Bonadiman, C., Ntaflos, T., Zanetti, A., and Coltorti, M (2020) The Variscan subduction inheritance in the southern Alps sub-continental lithospheric mantle: clues from the Middle Triassic shoshonitic magmatism of the dolomites (NE Italy), *Lithos*, 17: 380-381. doi:10.1016/j.lithos.2020.105856.
- Cuney, M (2014) Felsic magmatism and uranium deposits. *Bulletin of Society geology of France*, 185 (2): 75-92. doi:10.2113/gssgbull.185.2.75.
- Dahlkamp, F. J (1993) Uranium Ore Deposits, Springer, Berlin, 460p.
- Dahlkamp, F. J (2009) Uranium Deposits of the World: Asia, Springer, Berlin, 508p.
- Dahlkamp, F. J (2010) Uranium Deposits of the World: USA and Latin America, Springer, Berlin, 535p.
- Feng, W., and Zhu, Y (2019) Petrogenesis and tectonic implications of the Late Carboniferous calc-alkaline and shoshonitic magmatic rocks in the Awulale Mountain, Western Tianshan. *Gondwana Research*, 76: 44-61. doi:10.1016/j.gr.2019.05.009.
- Hastie, A. R., Kerr, A. C., Pearce, J. A., and Mitchell, S. F (2007) Classification of altered volcanic island arc rocks using immobile trace elements: development of the Th-Co discrimination diagram. *Journal of Petroleum*, 48: 2341-2357. doi:10.1093/petrology/egm062.
- Heidian, N., and Rasa, I (2011) Evolution of geochemistry and economic potential of ore veins in Kal-e Kafi- Khoni area, with regard to Au. *Journal of Geotechnical Geology*, 7: 17-28 (in persian).
- IAEA (2018) Geological Classification of Uranium Deposits and Description of Selected Examples, IAEA-TECDOC-1842, IAEA, Vienna, 430p.
- Im, S., Park, J. W., Kim, J., Choi, S. G., and Lee, M. J (2021) Petrogenesis of coeval shoshonitic and high-k calc-alkaline igneous suites in the Eopyeong granitoids, Taebaeksan Basin, South Korea: lithospheric thinning-related Early Cretaceous magmatism in the Korean Peninsula. *Lithos*. 392-393: 106-127. doi:10.1016/j.lithos.2021.106127.
- Irvine, T. N., and Baragar, W. R. A (1971) A guide to the chemical classification of common rocks. *Canadian Journal of Earth Sciences*, 8(5): 523-548. doi:10.1139/e71-055.
- John, D. A., and Taylor, R. D (2016) By-products of porphyry copper and molybdenum deposits, In: Verplanck, P. L., and Hitzman, M. W.,
- توريم و نادر خاکي در منطقه کانی‌سازی درونزاد کانسار کال کافی به ترتیب ۲۷۴۰، ۲۹۶، ۶/۸ و ۸۹/۴ ۱۷/۹ و پی‌ام است. کانی‌سازی مس، مولیبدن و اورانیوم در کانسار کال کافی همزمان با نفوذ گرانیت‌بید کال کافی در محیط کمان‌های آتشفشاری و همزمان تا پس از کوهزایی به صورت کانی‌های اورانینیت، اورانوتوریت و توریت اورانیوم‌دار و پراکنده با دامنه عیاری ۵ تا ۷ پی‌ام تشکیل شده است که با ویژگی‌های ذخایر اورانیوم نوع نفوذی (زیرده گرانیت- مونزونیت) انطباق دارد و در آن زیر رده قرار می‌گیرد.
- ## ۶- تشکر و قدردانی
- این پژوهش با حمایت‌های مادی و معنوی پژوهشگاه علوم و فنون هسته‌ای انجام شده است و از مسئولین و کارشناسان محترم مربوطه سپاسگزاری می‌شود.
- ## References
- Adib, D (1972) Mineralogische untersuchungen in der oxydations-zone der lagerstatte Tschah-Khuni, Anarak, Zentral Iran. PhD dissertation, University Heidelberg, Heidelberg, Germany, 194p.
- Ahmadian, J (2012) Geochemistry, Mineral Chemistry and Petrology of Kal-e Kafi Ore-bearing intrusive bodies, E Anarak, PhD dissertation, Tarbiat Modares University, Tehran, Iran (in persian).
- Ahmadian, J., Emami, M. H., Ghorbani, M. R., and Murata, M (2007) Mineralogical-geochemical characteristics of potassic granitoid in regard with other granitoid in Kal-e Kafi complex (NE. Anarak). *Scientific Quarterly Journal of Geosciences*, 16(63): 154-163 (in persian). doi:10.22071/gsj.2008.58534.
- Ahmadian, J., Michael, H., McDonald, I., Regelous, M., Ghorbani, M. R., and Murata, M (2009) High magmatic flux during Alpine- Himalayan collision: constraints from the Kal-e-Kafi complex, Central Iran. *Bulletin of the Geological Society of America*, 121(5-6): 857-868. doi:10.1130/B26279.1.
- Amini, B., and Soheili, M (2000) Geological studies and exploration of Au, Cu and other metals in Kal-e Kafi- Khoni area. *The Geological Survey and Mineral Exploration of Iran*, 115p (in persian).
- Austen, G., and Ballantyne, G (2010) Geology and geochemistry of deep molybdenum mineralization at the Bingham Canyon mine, Utah, USA, In: Krahulec, K., and Schroeder, K., (eds.), *Tops and Bottoms of Porphyry Copper Deposits: The Bingham and Southwest Tintic*

- of the Geological Society of London, Special Publication, 42: 313-345.
- Wilson, M (1989) Igneous Petrogenesis: A Global Tectonic Approach, Springer, Berlin, 466p.
- Wones, D. R (1989) Significance of the assemblage titanite+magnetite+quartz in granitic rocks. *American Mineralogist*, 74 (7-8): 744-749. doi:10.1016/0003-004X/89/0708-0744\$02.00.
- Yakovenko, V., Chinakov, I., Kokorin, Y., and Krivyakin, B (1981) Detailed geological prospecting in Anarak area (Kal-e Kafi- Khoni locality). Report 13 of Technoexport, Moscow, 53p.
- Yang, W. B., Niu, H.C., Shan, Q., Luo, Y., Sun, W.D., Li, C.Y., Li, N.B., and Yu, X.Y (2012) Late Paleozoic calc-alkaline to shoshonitic magmatism and its geodynamic implications, Yuximolegai area, Western Tianshan, Xinjiang. *Gondwana Research*, 22: 325-340. doi:10.1016/j.gr.2011.10.008.
- Yushin, A., and Romanko, E (1981) Isotope-geochemical characteristics of mineral deposits of Anarak area (Central Iran). Report of V/O Technoexport, 16, Moscow, 78p.
- Zamboni, D., Gazel, E., Ryan, J. G., Cannatelli, C., Lucchi, F., Atlas, Z. D., Trela, J., Mazza, S. E., and Vivo, B. D (2016) Contrasting sediment melt and fluid signatures for magma components in the Aeolian Arc: implications for numerical modeling of subduction systems. *Geochemistry Geophysics Geosystems*, 17(6): 2034-2053. doi:10.1002/2016GC006301.
- (eds.), Rare Earth and Critical Elements in Ore Deposits. *Reviews in Economic Geology*, 18: 137-164. doi:10.5382/Rev.18.07.
- Khoei, N (1983) Introduction on metallogenesis of Anarak area. The Geological Survey and Mineral Exploration of Iran, Tehran, 42p (in persian).
- Moghaddasi, J., Namdar Mohammadi, T., and Ahmadian, J (2012) Alteration and mineralization in Kal-e Kafi granitoid, NE of Anarak. *Iranian Journal of Geology*, 6(21): 15-23 (in persian).
- Nezampour, H (2005) Geochemical, remote sensing and petrology studies for determination genesis of ore occurrences in Khuni area, Na'in, Central Iran, MSc dissertation, Shahid Beheshti University, Tehran, Iran, 240p (in persian).
- Pearce, J. A., and Cann, J. R (1973) Tectonic setting of basic volcanic rocks determined using trace element analysis. *Earth and Planetary Science Letters*, 19(2): 290-300. doi:10.1016/0012-821X(73)90129-5.
- Pearce, J. A., Harris, N. B. W., and Tindle, A. G (1984) Trace element discrimination diagrams for tectonic interpretation of granitic rocks. *Journal of Petroleum*, 25: 956-983. doi:10.1093/petrology/25.4.956.
- Pearce, J. A (2008) Geochemical fingerprinting of oceanic basalts with applications to ophiolite classification and the search for archean oceanic crust. *Lithos*, 100: 14-48. doi:10.1016/j.lithos.2007.06.016.
- Rice, C. M., Harmon, R. S., and Shepherd, T. J (1985) Central City, Colorado; the upper part of an alkaline porphyry molybdenum system. *Economic Geology*, 80: 1769-1796. doi:10.2113/gsecongeo.80.7.1769.
- Richards, J. P., and Mumin, A. H (2013) Magmatic-hydrothermal processes within an evolving earth: iron oxide- copper- gold and porphyry Cu±Mo±Au deposits. *Geology*, 41(7): 767-770. doi:10.1130/G34275.1.
- Stergiou, C. L., Melfos, V., Voudouris, P., Spry, P. G., Papadopoulou, L., Chatzipetros, A., Giouri, K., Mavrogenatos, C., and Filippidis, A (2021) The geology, geochemistry, and origin of the porphyry Cu-Au-(Mo) system at Vathi, Serbo-Macedonian Massif, Greece. *Applied Sciences*, 11(2): 479-507. doi:10.3390/app11020479.
- Stocklin, J (1968) Structural history and tectonic of Iran: a review. *American Association of Petroleum Geologists Bulletin*, 52(7): 1229-1258. doi: 10.1306/5D25C4A5-16C1-11D7-8645000102C1865D.
- Sun, S. S., and McDonough, W. F (1989) Chemical and isotopic systematic of oceanic basalt: implication for mantle composition and processes. In: Saunders, A.D., and Norry, M.J (eds) Magmatism in the Ocean Basins. *Journal*

Mineralogy and Geochemistry of Uranium, Thorium and Rare Earth Elements in Kal-e Kafi Hypogene Copper-Molybdenum Ore Deposit, Anarak District

Kh. Khoshnoodi^{*1} and S. Ziapour²

1- Assist. Prof., Nuclear Fuel Cycle Research School, Nuclear Science and Technology Research Institute, AEOI, Tehran, Iran

2- Researcher, Nuclear Fuel Cycle Research School, Nuclear Science and Technology Research Institute, AEOI, Tehran, Iran

* khoshnoodi78@gmail.com

Received: 2024.3.10 Accepted: 2024.5.21

Abstract

Kal-e -Kafi copper-molybdenum deposit is one of the ore fields of Anarak metallogenetic district, which is located 76 km northeast of Anarak city, in the middle part of Central Iran. Kal-e -Kafi granitoid with upper Eocene age is an oval mass with dimensions of 5.5 x 8 km that penetrated into Precambrian metamorphic rocks, Cretaceous limestone and lower-middle Eocene volcanic rocks. Kal-e -Kafi granite has high-K calc-alkaline affinity and is formed in the tectonic setting of volcanic arc. The main minerals of uranium and thorium include thorium-bearing uraninite, urano-thorite and uranium-bearing thorite. Uraninite and urano-thorite crystals contain up to 10% of thorium and 30% of uranium, respectively. The main minerals of rare elements include monazite, bastnasite, and parisite, in which the amount of cerium, lanthanum and neodymium varies from 18 to 34, 9 to 20, and 9 to 13 percent, respectively. The average amount of uranium, thorium and total rare earth elements in the hypogene zone of Kal-e -Kafi deposit is 7, 18 and 89 ppm, respectively. On the basis of the results of this investigation, hypogene copper, molybdenum and uranium mineralization support intrusive-type uranium deposit (granite-monzonite sub-type) for Kal-e Kafi ore deposit.

Keywords: Uranium, High-K calc-alkaline, Kal-e -Kafi copper-molybdenum deposit

Introduction

Anarak district with more than 150 occurrences and mineral deposits have wide various types of mineral assemblages. The Kal-e Kafi area is approximately 76 km northeast of Anarak in the south margin of Central Desert, Isfahan province. The Anarak metallogenetic district is located in middle part of the Central Iranian zone and the metamorphic Anarak-Khur subzone, and bounded from the north to the Great Kavir-Doruneh fault, from the southwest to Nain-Zavar ophiolitic zone and from the south to the Nain-Anarak graben. The mineral potential of the Anarak district has already been studied by Adib (1972), Yakovenko et al. (1981), Khoei (1983), Babakhani et al. (1999), Amini and Soheil (2000) and Nezampour (2005).

The important aspect of the Kal-e-Kafi intrusive complex is that it hosts various mineralization types, such as Cu, Mo, Pb, Zn, and Au. The Kal-e-Kafi mining area is located at 54°10'–54°20'N and 33°20'–33°30'E. The western part of Kal-e Kafi intrusion resulted from the Alpine tectono-magmatic activities,

hosts one of the largest Cu-Mo-Au deposit in Iran. In Kal- e Kafi region, there are three major systems of faults with N-S, E-W, and NE-SW trends. The Cu-Mo porphyry mineralization is controlled by the E-W fault system controls, and polymetallic (Pb, Zn, W, Mo and Au) veins are present in N-S faults. The alteration zones are represented by potassic, phyllitic, argillitic, and silicic. Cu-Mo porphyry mineralization corresponds mainly to the western margin of the Kal-e Kafi intrusion represented by granite and quartz monzonite. The Kal-e Kafi mine contains 245 Mt ores at 0.26% Cu and 0.026% Mo, and reported content of Au is about 249 tones at 4 ppm Au. The aim of this paper is to discuss the petrography, mineralography and SEM studies and geochemistry analysis of U, Th and REEs in the Kal-e Kafi Hypogene Copper-Molybdenum Ore Deposit.

Materials & Methods

After field investigation, sampling of drilling cores was done at a depth of more than 100 meters in the hypogene ore deposit. After the

macroscopic examination of the samples, more than 40 thin and thin-polished sections were prepared from the Kal-e Kafi granite and hypogene Cu-Mo porphyry ore for petrology and mineralogy studies by Olympus CX21 transmission-reflection light microscope. Then, the detailed study of mineral assemblages was performed on 8 selected samples by field mission scanning electron microscopy (FESEM) at the Center for Applied Research of the Geological Survey and Mineral Exploration of Iran, Karaj. The concentrations of major, trace and rare earth elements for 5 ore samples were determined by inductively coupled plasma (ICP) optical emission spectroscopy (OES) and mass spectrometry (MS) at Zarazma laboratory in Tehran, Iran (Table 1). In addition, the results obtained from chemical analyses (4 granite samples) of previous study by Ahmadian (2012) were also used for the geochemical studies.

Results and Discussion

Porphyry Cu-Mo mineralization has occurred in the western margin of the Kal-e Kafi intrusion. This Leucocratic granite is fine-grained containing mainly quartz and K-feldspar accompanied with minor mafic minerals (biotite and hornblende). The accessory minerals include apatite, titanite and zircon magnetite, as well as opaque minerals (magnetite, chalcopyrite, molybdenite and pyrite). The Kal-e Kafi Granitoid rocks are cut by chalcopyrite- and hematite-bearing quartz veins and veinlets. The presence of titanite, magnetite and quartz accompanied by hornblende indicate high oxygen-fugacity of the parental magma. All samples experience multistage hydrothermal alteration including potassic, phyllitic, argillic, silicic, carbonate and chlorite as the most common alteration minerals. In a total alkali versus silica diagram (Fig. 6a), the granitoid samples from Ahmadian (2012) show granite composition with sub-alkaline to alkaline affinity. In the Co versus Th plot (Fig. 6b), granite samples lie within the calc-alkaline high-K/ Shoshonitic field. The mafic mineral assemblages of the shoshonitic series include clinopyroxene± olivine± amphibole± biotite, whereas those of the high-K calc-alkaline series consist of hydrous assemblages of amphibole+ biotite. Considering the presence of amphibole and biotite and the absence of clinopyroxene in the Kal-e Kafi granite, it can be concluded that the

Kal-e Kafi granite has a high-K calc-alkaline affinity. On the basis of Yb versus Ta and Th/Yb versus Nb/Yb diagrams (Fig. 6c-d), the studied granite has formed in the volcanic arc of a subduction zone related to Urumieh-Dokhtar magmatic arc.

In the Kal-e Kafi, hypogene Cu- Mo mineralization mainly occurs as disseminated and lesser as quartz- carbonate vein-veinlets within the host granite. The hypogene Kal-e Kafi ore has exhibits enriched concentrations of uranium, thorium and rare earth elements. The mineralization is commonly associated with potassic, phyllitic and argillic alterations. The ore is mainly composed of sulfide and minor oxides. Main sulfide ore minerals are primary pyrite, chalcopyrite, molybdenite and chalcocite and minor secondary bornite, cuprite and covellite (Fig. 3 and 4). Magnetite, hematite and rutile are rarely accompanied the sulfides. Chalcopyrite and pyrite are characterized by coarse to fine-grained disseminated crystals and are closely associated with quartz- carbonate veinlets. In some cases, chalcopyrite directly replaces pyrite. Chalcopyrite is replaced by bornite, chalcocite and covellite. Molybdenite mainly occurs as individual disseminated in ores or veinlets and sometimes as intergrowth with chalcopyrite. Uranium occurs as thorium-bearing uraninite, urano-thorite and uranium-bearing thorite minerals. Uraninite with up to 10% thorium is associated with molybdenite and magnetite, and also occurs as inclusion within main minerals of the Kal-e Kafi granite. Urano-thorite and uranium-bearing thorite occur as subhedral to euhedral inclusion within K-feldspar, biotite and plagioclase. Urano-thorite contains up to 30% thorium. Zircon mainly occurs as euhedral to subhedral inclusion in biotite, K-feldspar and plagioclase and contains 9-12% Nd. The main minerals of REE in the hypogene Kal-e Kafi ores are monazite, bastnasite and parisite. Monazite and parisite mainly occur as fine-grained inclusion within apatite, k-feldspar and quartz. Bastnasite and parisite contain 17.7-33.5% Ce, 9.3-19.5% La and 8.9-12.5% Nd.

The strongly incompatible behavior of uranium in silicate magmas results in its concentration in the most Felsic magmatism and uranium deposits. The incompatible behavior of uranium in silicate magmas leads to its enrichment in the felsic melts. Uranium enrichment is rather an uncommon characteristic of porphyry

systems associated with calc-alkaline igneous rocks and in contrast, U enrichment occurs in porphyry deposits related to alkaline intrusions. Four types of granites/rhyolites including peralkaline, high-K metaluminous calc-alkaline, L-type peraluminous and anatetic pegmatoids, can be significantly enriched in U to represent a significant source for the genesis of U deposits. The Kal-e Kafi granite due to its high-K calc-alkaline affinity shows uranium concentration (Fig. 7b). Uranium and Th concentrations vary from 5.4 to 7.8 and 13.1 to 23.2 ppm. Positive correlations U and Th with Cu and Mo indicate that the U and Th mineralization is associated with hypogene Cu-Mo mineralization. According to Dahlkamp (1993, 2009) and IAEA (2018) Uranium mineralization in the Kal-e Kafi deposit is a uranium intrusive-type deposits (granite-monzonite sub-type). In this type, primary U minerals such as uraninite, uranothorianite and uranothorite occur within intrusive or anatetic rocks.

Conclusions

On the basis of microscopic and geochemical studies of the host rock of the hypogene Cu-Mo mineralization, the Kal-e Kafi granites have high-K calc-alkaline affinity. Based on geochemical diagrams, they are formed in the tectonic setting of volcanic arc. The high abundance of primary sulfides such as

chalcopyrite, pyrite, molybdenite and chalcocite in studied rocks, as well as trace amount of secondary bornite, cuprite and covellite formed by the replacement of chalcopyrite, indicate the hypogene environment and the role of the Kal-e Kafi granite for Cu-Mo mineralization. In this deposit, uranium, thorium and REE mineralization is also occurred. The main minerals of uranium and thorium include thorium-bearing uraninite, urano-thorite and uranium-bearing thorite which are disseminated in the hypogene mineralization zone. Uraninite and urano-thorite crystals contain up to 10% of thorium and 30% of uranium, respectively. The main minerals of rare elements include monazite, bastnasite, and parisite, in which the amounts of cerium, lanthanum and neodymium vary from 17.7 to 33.5, 9.3 to 19.5, and 8.9 to 12.5 percent, respectively. The average amount of Cu, Mo, U, Th and REEs in the hypogene zone of the Kal-e -Kafi deposit is 2740, 296, 6.8, 17.9 and 89.4 ppm, respectively. The Cu, Mo and U mineralization in the Kal-e Kafi deposit is simultaneously formed with the emplacement of the Kal-e Kafi granitoid in the volcanic arc, in the form of disseminated uraninite, urano-thorite and uranium-bearing thorite minerals with the grade of 5-7 ppm. This deposit has the characteristics of uranium intrusive-type deposits (granite-monzonite sub-type).